

ダムコンジット放水吐に関する水理実験

山口大島 正員 有義 隆
 西日本工業大学 正員 石倉 寛治
 西日本工業大学 正員 赤司 信義
 下関市役所 正員 鶴田 勝彦

現在、放流管に関する設計上の主な指針は林、荒木らの研究によってほとんど与えられている。本報告は $1/40$ のダム模型実験を行い、全管路型放流管の放流量ならびに管路断面の圧力分布を、林、荒木、鶴田の計算式と比較して検討したものである。さらにダムクリストの流れについて、ダム頂部曲率半径が 0 つまり頂部形状が人口ルード曲線のような指数が設定される場合の水理計算法について述べるものである。

筆者らが計算を行った流量関係式ならびに圧力分布式を示す。

Fig. 1 は放流管断面の概略を示したものである。

流量計算式：直管部において、速度分布は一様とし、曲管部においては遠心力の影響を受けるものとして取り扱った。又入口損失を $\frac{1}{2} \bar{V}_0^2 2g$ (\bar{V}_0 は直管始端部の平均流速)、摩擦損失を $f \int_0^{l_1} \frac{B/d_s}{4R} \frac{dV^2}{2g}$ ($R = \frac{A}{A}$) として貯水池と A 点とにベルヌーイの定理を適用すると流量 Q は次式と与えられる。

$$Q = B d_s \sqrt{2g(E + S_E - d_E \cos \theta_E)} / \left(\left\{ \frac{ds}{R d_E \ln(1 + d_E/R)} \right\}^2 + \Delta_E \right)$$

$$\Delta_E = S + f \frac{(B + d_s) l_1}{2 B d_s} + f \frac{l_2}{B} \lambda_E, \quad \lambda_E = \int_0^{l_2} \frac{B/d_s + 1 - (1 - d_E/d_s)(x - l_1)/l_2}{2 \{ 1 - (1 - d_E/d_s)(x - l_1)/l_2 \}^3} d(x/l_2) \quad (1)$$

圧力分布計算式：貯水池と管上面位置にて損失を考慮してベルヌーイの定理を適用すると次式と得られる。

$$(直管上面の圧力) \quad \frac{P}{w} = E + S - (1 - \Delta_{x_1}) \frac{1}{2g} \left(\frac{Q}{B d_s} \right)^2, \quad \Delta_{x_1} = S + f \frac{(B + d_s)}{2 B d_s} X \quad (2)$$

$$(曲管上面の圧力) \quad \frac{P}{w} = E + S - d \cos \theta - \left[\alpha \left\{ \frac{ds}{R + d \ln(1 + d/R)} \right\}^2 + \Delta_{x_2} \right] \frac{1}{2g} \left(\frac{Q}{B d_s} \right)^2 \quad (3)$$

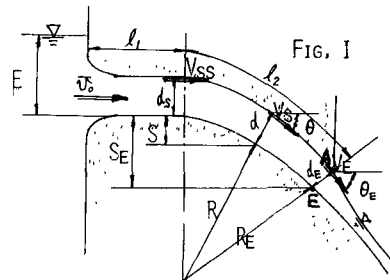
$$\Delta_{x_2} = S + f \frac{(B + d_s)}{2 B d_s} l_1 + f \frac{l_2 d_s}{B d_s} \lambda_X, \quad \lambda_X = \int_0^{X/l_2} \frac{B/d_s + 1 - (1 - d_E/d_s)(x - l_1)/l_2}{2 \{ 1 - (1 - d_E/d_s)(x - l_1)/l_2 \}^3} d(x/l_2)$$

さらに管路下面の圧力を求めると、圧力低下量を次式に示す。次式より管下面の圧力は(上部の圧力 $- \frac{\Delta P}{w}$)となる。

$$(直管): \frac{\Delta P}{w} = -d \quad (曲管): \frac{\Delta P}{w} = -d \cos \theta + \frac{\alpha Q^2}{2g} \left\{ \frac{(1 + d/R)^2 - 1}{(B(R + d) \ln(1 + d/R))^2} \right\} \quad (4)$$

次にコンジット下流部の水深及び圧力は E 点までの総損失を $\sum h_f$ とし、遠心力の影響を考慮して表面流速 V_{SE} を定める時、ダム壁面の圧力は次式と得られる。 $\frac{P}{w} = h \cos \theta + (E + S - \sum h_f - h \cos \theta) \left\{ 1 - \left(1 + \frac{h}{R} \right)^2 \right\}$ (5)

又上式中の水深 h は遠心力の影響を考慮した流量式 $Q = B V_0 (R + h) \ln(1 + h/R)$ を基にして、逐次計算を行って求めたものである。ここに摩擦損失係数 $f = 0.02$ とし、速度分布が側壁の影響を受けていると見て速度分布の補正係数を導入し、その値を 0.6 として計算を行ったものである。Fig. 2 はコンジット(放流管)の放流量曲線を示したものである。実線は(1)式に基づく計算結果である。なお(1)式中にあつて断面積 A は隔壁部を無視して、矩形管路として計算したのが若干不正確である。又同図中の実線は林、荒木、鶴田によるコンジット放流量の一般計算式によつたもので、放流管断面積の隔壁部を考慮して行ったもので、隔壁部を無視



して矩形管路として計算を行うと、実験値と実測の間にに入る値を得た。Fig. 3はコンジット下流の圧力分布を示したもので図中の①、②、③が(2)、(3)、(4)、(5)式で行なった計算結果である。放流水路内の速度分布は遠心力の影響をうけるので、圧力分布を求める際に、開水路において使用されるStreeterの式を参考にして速度分布の補正係数を求めた。なおStreeterの式によれば $f=0.02$ では α は 1.042 となる。同図中の④、⑤、⑥の実線は林・森・飯田によって得られてある一般計算式を使用し $f=0.02$ 、 $S=0.05$ として計算したものである。

次にクレスト上の流れについて述べる。クレストの形状をハロルド曲線で設定すると、次に示す様にダム頂部で曲率半径は 0 となる。ハロルド曲線: $y = 0.5 X^{1.85} / H_d^{0.85}$, 曲率半径は $R = (1 + y'^2)^{1/2} / y''$ で表わされるから、任意位置での R は
$$R = \frac{1 + (1.85 \cdot 0.5 \cdot X^{0.85} / H_d^{0.85})^2}{1.85 \cdot 0.85 \cdot 0.5 / H_d^{0.85}}^{1/2} \cdot X^{0.15} \quad (6)$$

となり、 $X=0$ で $R=0$ となる。

力を示すが分かる。頂部曲率半径が 0 となる場合には流量は単純に算定されなくなる。仮に 0 でない向らかの平均の値を採用しても、Fig. 5 の様に与えられた比エネルギーに対する流れの最大流量(つまり限界流量)が場所的に変化し、その内の最小の流量しか流れない状況である。これは、ダム頂部では限界水深が生じるとして、0 でない向らかの値を頂部曲率半径として採用すれば、実際の限界水深が生じている場所では合致する流量はなく、その場所の水深や圧力は求められない。実際の計算でダム表面の圧力や水深を求める場合には以下の手順が必要となる。遠心力の影響を考慮した時のクレストからの流量は

$$Q = B \sqrt{2g(E+S-R\cos\theta)(R+r)\ln\left(1+\frac{r}{R}\right)} \quad (7)$$

で求められる。これらに $E = \text{一定}$ で $\partial r/\partial R = 0$ の条件より、限界水深は次式となる。

$$h_c = \frac{2(E+S) - rR\cos\theta - 2(E+S)r\ln\left(1+h_c/R\right)}{2\cos\theta + 3\cos\theta\ln\left(1+h_c/R\right)} \quad (8)$$

従って上式より、(X, θ, R, S, E) を与えて、 h_c の場所的変化の内最も最小の h_c をもって、その位置の限界流量を求め、もってそれを与えられた比エネルギー K 対するクレストからの放流量とする。放流量 Q が決定されば、(7) 式より水深は求められる。この方法でクレストからの放流量を計算したのが Fig. 4 である。実験値と計算値との一致は満足いくものと考える。

なお、本実験は山口県の依頼により模型実験を行ったもので、こうした研究の機会を与えてくれた年に附し、山口県
洞川開発課の方々に厚く感謝の意を表す
が次第である。

